

### III-20 応力履歴により作られた砂の異方性の変形に及ぼす影響

北海道大学工学部 ○ 土岐祥介

北郷繁

大成建設株式会社 藤波安臣

1. まえがき 一般に材料の変形特性が応力履歴の影響を受けることはよく知られている。Casagrande<sup>(1)</sup> (1944), Arthur<sup>(2)</sup> (1972) によれば、砂の異方性には生得的 (inherent) や導入された (induced) 異方性の 2 つの型があることを述べているが、土の力学的性質に及ぼす応力履歴の影響は、応力により生じた異方性の結果と考えるのが自然であろう。この報告は、三軸圧縮試験機により応力の大きさを変えて圧縮あるいは伸張の応力履歴を供試体にあたえ、導入された異方性の変形係数に及ぼす影響を調べ、変形係数が以前に受けた変形の大きさと方向に支配されることを示したものである。

2. 実験方法 供試体に種々の応力履歴をあたえる操作は、図-1 の方法によった。まず正弦波的に変化する軸方向および半径方向の応力  $\sigma_{AS}$  および  $\sigma_{RS}$  を逆位相で 2 サイクル載荷し、3 サイクル目は  $45^\circ$  每の (1)~(8) いずれかの点で載荷を中止し、 $\sigma_{AS} = \sigma_{RS} = \sigma_0 = 2.0$  MPa の等方応力状態に戻す。応力状態 P(2) および P(6) で最大の圧縮あるいは伸張が生ずるが、このときの粒子配列構造と応力を等方状態に戻したときのそれには大差がないと考えた。応力ヒズミの大きさの影響を調べるために、繰返し応力  $\sigma_R$  と静的強度の比  $R$  を 0.3, 0.6, 0.8 および 1.0 に変え、ヒズミが % に達するまでの  $\sigma_R$  を増したケースを入れて  $\sigma_R$  を 5 種類とした。また、P(1) と P(8) では応力の載荷数がほぼ 1 サイクル違うが、この影響を小さくするために、供試体の生得的異方性を調べるために、第 1 サイクルで最初  $\sigma_R$  を増加する A-type と、 $\sigma_R$  を増加する B-type の 2 つの載荷法を採用した。変形係数  $E_i$  は  $\sigma_{AS} = \sigma_0$  一定のときに  $\sigma_{AS}$  を増して求めた。試料は豊浦砂を用い、試験は全て排水条件で行った。

3. 実験結果と考察 (1)  $E_i$  と  $P(n)$  の関係： 繰返し応力を受けた供試体の  $E_i$  へ曲線には直線部分があり、明確に  $E_i$  を決めることができる。図-2 は  $E_i$  と最終応力状態を示す  $P(n)$  の関係を示したもので、2 サイクル載荷後の供試体間隔比  $E_c$  と等しい初期間隔比  $E_0$  の値を供試体の初期接線係数の値を点線で示している。P(1)~P(4) の圧縮側および P(5)~P(8) の伸張側で  $E_i$  はそれをほぼ等しく、両者の比は 5~10 倍に達し、 $E_i$  に及ぼす応力履歴の影響の大きさことがわかる。以前に圧縮を受けた供試体では、粒子配列が圧縮応力の増加に応じ直ちに強度の動員ができる構造となり、いろいろのに対し、伸張を受けた供試体では  $\sigma_{RS}$  の方向に硬化が生じているが、 $\sigma_{AS}$  の方向に強度発揮可能な構造に粒子が再配列するためには大きな変形が必要で、このような導入された粒子構造の異方性が図-2 のような変形特性の違いをもたらすのである。

(2)  $E_i$  と  $R$  の関係： 応力履歴の影響は応力の大きさによって違い、これを示したのが図-3 である。圧縮あるいは伸張を受けた供試体の  $E_i$  は P(2) および P(6) で代表させた。この図において、P(2) に対する  $E_{ip(2)}$  は  $E_0$  の区別なく  $R$  が 0.8~1.0 までほぼ一定で、それ以上の  $R$  を受けることにより減少する。いろいろのに対し、 $E_{ip(6)}$  は  $R$  の増加とともに減少している。 $E_{ip(6)}$  と  $E_{ip(2)}$  の比は図-4 に示すように  $E_0$  の

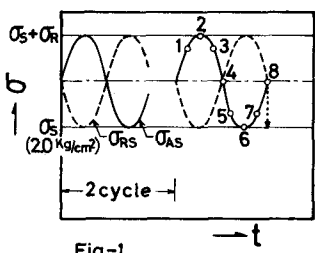


Fig-1

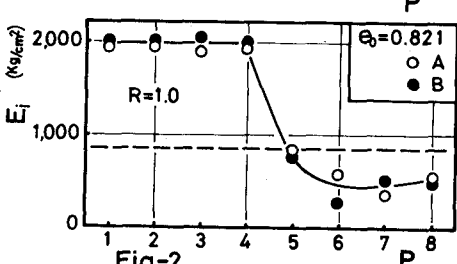
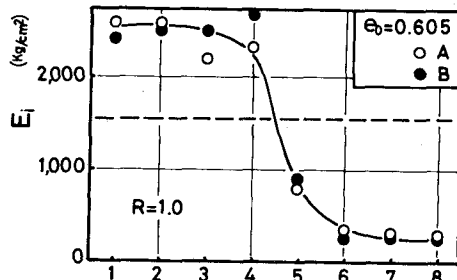


Fig-2

大小によらず  $R=0.3$  で約 70%,  $R=1.0$  付近で 10~15% であって以前に受けた応力が大きいほど異方性も大きくなっている。これまでモールド内に作られた同じ  $e_0$  の供試体の生得的異方性に起因する変形係数の違いは 2~3 倍に及ぶことが報告されている<sup>2), 3)</sup>が、図-3 および 4 に示すように大きな応力により導入された異方性は生得的異方性よりも大きさの影響を  $E_i$  に及ぼしている。(3)  $E_i$  と  $Q$  の関係: 図-5 は応力履歴を加えるまでの生じた圧縮あるいは伸張ヒズミと歴史供試体の破壊ヒズミの比  $Q$  に対する  $E_i$  の変化を示したものである。 $E_{ip(6)}$  は  $Q$  の増加とともに急速に減少し、 $Q=0.2$  で  $Q$  がごく小さい場合の約 20% の大きさとなる。一方  $E_{ip(2)}$  は、 $R$  でみるかぎり  $R$  が 0.8~1.0 以下ではほとんど変化していないが、 $Q$  の増加とともに単調に減少し、以前に受けた応力の影響は、応力の大きさそのものよりも生じたヒズミの大きさに支配されるところが大であると考えられる。図-3 および 5 において、 $R$  あるいは  $Q$  の小さなところでは  $E_{ip(6)}$  が  $e_0$  と同じ  $e_0$  の歴史供試体の初期接着線係数より大きいのは、繰返 1 截荷中に軸方向応力により生じた硬化のためであろう。

再載荷時の  $\sigma \sim E$  曲線の特性: 図-6 は繰返 1 截荷時のヒステリシスループで、(1)~(8)点で除荷後再載荷を行なったときの  $\sigma \sim E$  曲線を対応する番号で示してある。 $\sigma \sim E$  曲線は、 $P(1)$  のぞいでいすれもヒステリシスループの右上端附近を通り、以前に受けた最大応力に達したとき再び同じヒズミが生ずるという特性を示している。図は示していないが、ヒステリシスループの割線係数  $E_R$  は  $Q$  の増加とともに直線的に減少し、また除荷時 ( $\sigma_{As} = \sigma_{Rd} = 2.0\%$ ) の供試体の状態は最終応力状態が伸張側にあるほど図-5 の左側によるので、 $\sigma \sim E$  曲線が  $P$  のいかんにかかわらずほとんど同じ点を通過すると、伸張を受けた供試体では  $R$  の大きいほど、また最終応力状態が伸張側にあるほど、 $E_i$  も小さくなることになる。また圧縮を受けた供試体では、 $Q$  が増加するほど除荷の過程において生じるヒズミが増加する傾向にあるので、再載荷時の  $E_i$  は図-5 に示すように  $Q$  の増加とともに減少する。詳細は改めて報告したい。

4 むすび。 同じ間隔比の砂の変形係数は、応力履歴により 10 倍も違ひ、応力ヒズミの特性には以前に受けたヒズミの方向とその大きさの影響の大きさを示した。

参考文献 1) Casagrande A. and Carillo N. (1944) "Shear failure of anisotropic sand", J. Boston Soc. 314, 122.  
2) Arthur J. and Menzies B. (1972) "Inherent anisotropy in a sand", Geotechnique, vol. 22 No. 1  
3) Oda M. (1972) "Initial fabric and their relation to shear strength", Soil and Foundation vol. 12, No. 1

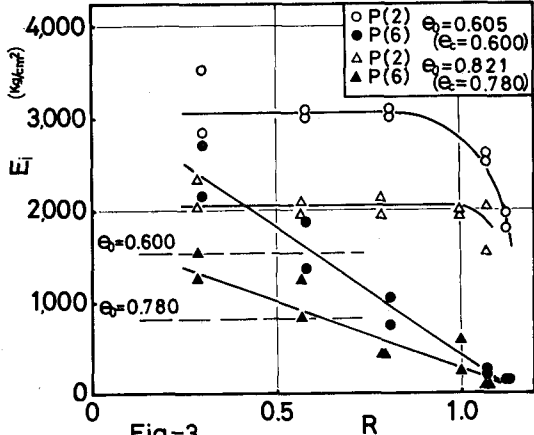


Fig-3

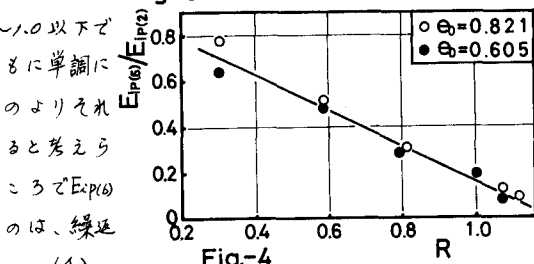


Fig-4

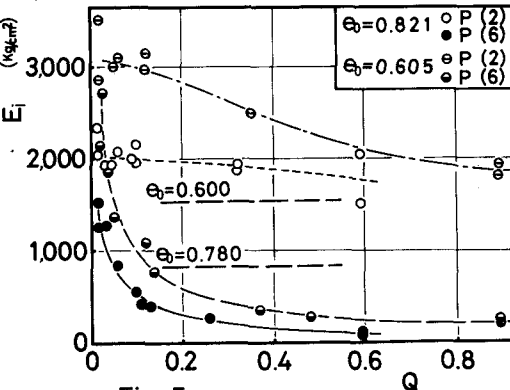


Fig-5

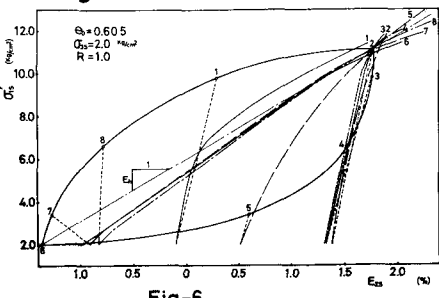


Fig-6